

$$2^9 * G^5 * (5G - 6\pi) * t^3 * \ln(6\pi + t) = 3$$

транцендентное уравнение относительно заряда псевдо-аттрактора



$$=vt/2$$

Энергетический квант

найдем графическое решение

$$2^9 * G^5 * (5G - 6\pi) * \ln(6\pi + t) = 3 * t^3$$

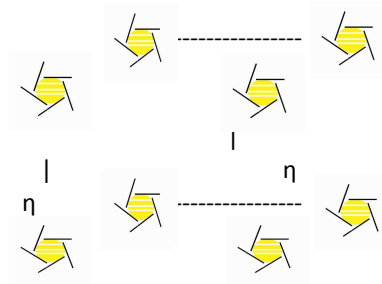
= 2,1124367 (собственное значение функции на мнимой оси)

Пусть  $s=2^9 * G^5 * (5G - 6\pi)$  - квазистатический потенциал нейросети объекта (активное насыщение RLC контуров аттрактора)

результат - состояние термодинамического равновесия нейросети, после работы генетического алгоритма и структуризации наноструктур

$s= -2953387,603$  (приобретенный статический заряд нейросети объекта) - аналог кулоновского взаимодействия

m1,кг	700	π-числовая константа	3,141592654
m2		G-гравитационная константа	6,67259E-11 Н·м2/кг2



Ps - позитроний

Равновесный контакт в нанокубе (позитроний) рассчитаем

$\eta= 4,2248734$  i-3π Константа связанности - синаптические связи

Потенциал Юкавы 2-х нейросетей:

$$V(r) = -\frac{g^2}{4\pi r} e^{-\mu r}$$

Аналогия электростатического притяжения

octa genetic nanostructure prototype - plasma generator

8 η- contacts

следующее состояние за равновесием можно охарактеризовать как моторика или квазидинамика(прецессия Томсона-гироскоп), таким образом нейросеть переживает переход (neurc) которое на физиологическом уровне можно охарактеризовать как биоэнергетическая биотическая активность

$\Psi(x,t)$	$\cos(kx-\omega t+\sin(kx-\omega t+\phi_0))$	$\vartheta_{phase}$	t	$\omega, Hz$
-0,96076	-0,27739277	4000	-2000	4000
0,146252	-0,98924738		-1800	
0,999922	0,01247716		-1600	
0,121522	0,9925887		-1400	
-0,96738	0,25333323		-1200	
-0,38058	-0,9247473		-1000	
0,865461	-0,50097604		-800	
0,612348	0,79058837		-600	
-0,70148	0,71269173		-400	
-0,8002	-0,59973301		-200	
0,487188	-0,8732973		0	
0,930667	0,36586827		200	
-0,23796	0,97127503		400	
-0,99439	-0,10576557		600	
-0,02833	-0,99959853		800	
0,986804	-0,16192203		1000	
0,292595	0,9562366		1200	
-0,90845	0,41799751		1400	
-0,53587	-0,84429891		1600	
0,764944	-0,64409663		1800	
0,740721	0,67181299		2000	
-0,56658	0,82400486		2200	
-0,89245	-0,45114852		2400	
0,327589	-0,94482023		2600	
0,980176	0,19813028		2800	
-0,0651	0,99787855		3000	

$$kx-\omega t=2,11$$

$$kx=\omega t+2,11$$

$$x=(\omega t+2,11)/k$$

Заряд электрона(позитрона)

1,60218E-19

Электростатическая константа

8,85419E-12 8987551788

Расстояние ребра куба

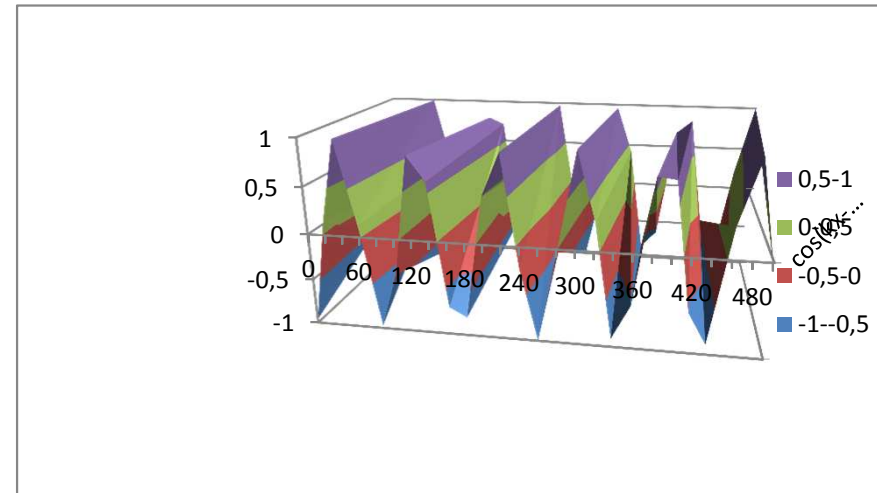
0,02 нм

Волновая функция - бегущая волна ( форма Эйлера)

$$\Psi(x,t)=A*\exp((kx-\omega t)i)=A*\cos(kx-\omega t)+i*A*\sin(kx-\omega t)$$

аннигиляция, возмущения отсутствуют,  
классический вакуум до создания электрон-позитронной пары  
относительная скорость систем отсчета постоянная

преобразование парапозитрония со спином 0 в ортопозитроний со спином 1



delta t,sec	$\Delta\omega$ ,Hz	k	$\phi_0$	x	deltaX
200	30	1	0	0	20
					40
					60
					80
					100
					120
					140
					160
					180
					200
					220
					240
					260
					280
					300
					320
					340
					360
					380
					400
					420
					440
					460
					480
					500

t	$\ln(6\pi + t)^*s$	$3^* t-3$
0,0000001	-17,84955600000000000000	0,231726465722303000
	-17,84955590000000000000	-0,063612306395869200
	-17,84955580000000000000	-0,358951048980165000
	-17,84955570000000000000	-0,654289762030592000
	-17,84955560000000000000	-0,949628445547155000
	-17,84955550000000000000	-1,244967099529860000
	-17,84955540000000000000	-1,540305723978710000
	-17,84955530000000000000	-1,835644318893720000
	-17,84955520000000000000	-2,130982884274890000
	-17,84955510000000000000	-2,426321420122220000
	-17,84955500000000000000	-2,721659926435730000
	-17,84955490000000000000	-3,016998403215410000
	-17,84955480000000000000	-3,312336850461280000
	-17,84955470000000000000	-3,607675268173330000
	-17,84955460000000000000	-3,903013656351590000
	-17,84955450000000000000	-4,198352014996040000
	-17,84955440000000000000	-4,493690344106700000
	-17,84955430000000000000	-4,789028643683570000
	-17,84955420000000000000	-5,084366913726670000
	-17,84955410000000000000	-5,379705154235980000
	-17,84955400000000000000	-5,675043365211530000
	-17,84955390000000000000	-5,970381546653320000
	-17,84955380000000000000	-6,265719698561340000
	-17,84955370000000000000	-6,561057820935620000
	-17,84955360000000000000	-6,856395913776150000
	-17,84955350000000000000	-7,151733977082940000
	-17,84955340000000000000	-7,447072010856000000
	-17,84955330000000000000	-7,742410015095330000
	-17,84955320000000000000	-8,037747989800940000
	-17,84955310000000000000	-8,333085934972830000
	-17,84955300000000000000	-8,628423850611010000
	-17,84955290000000000000	-8,923761736715490000
	-17,84955280000000000000	-9,219099593286270000
	-17,84955270000000000000	-9,514437420323360000
	-17,84955260000000000000	-9,809775217826760000
	-17,84955250000000000000	-10,105112985796500000
	-17,84955240000000000000	-10,400450724232500000
	-17,84955230000000000000	-10,695788433134900000
	-17,84955220000000000000	-10,991126112503600000
	-17,84955210000000000000	-11,286463762338700000
	-17,84955200000000000000	-11,581801382640100000
	-17,84955190000000000000	-11,877138973407800000
	-17,84955180000000000000	-12,172476534642000000
	-17,849551699999900000	-12,467814066342500000
	-17,849551599999900000	-12,763151568509300000
	-17,849551499999900000	-13,058489041142600000
	-17,849551399999900000	-13,353826484242200000
	-17,849551299999900000	-13,649163897808200000
	-17,849551199999900000	-13,944501281840600000
	-17,849551099999900000	-14,239838636339400000
	-17,849550999999900000	-14,535175961304600000
	-17,849550899999900000	-14,830513256736300000
	-17,849550799999900000	-15,125850522634300000
	-17,849550699999900000	-15,421187758998800000

-17,849550599999900000	-15,716524965829700000	-0,000527520566026411
-17,849550499999900000	-16,011862143127100000	-0,000527520574892526
-17,849550399999900000	-16,307199290890900000	-0,000527520583758642
-17,849550299999900000	-16,602536409121100000	-0,000527520592624757
-17,849550199999900000	-16,897873497817800000	-0,000527520601490873
-17,849550099999900000	-17,193210556981000000	-0,000527520610356989
-17,849549999999900000	-17,488547586610600000	-0,000527520619223106
-17,849549899999900000	-17,783884586706700000	-0,000527520628089222
-17,849549799999900000	-18,079221557269300000	-0,000527520636955339
-17,849549699999900000	-18,374558498298300000	-0,000527520645821456
-17,849549599999900000	-18,669895409793900000	-0,000527520654687573
-17,849549499999900000	-18,965232291755900000	-0,000527520663553690
-17,849549399999900000	-19,260569144184500000	-0,000527520672419807
-17,849549299999900000	-19,555905967079600000	-0,000527520681285925
-17,849549199999900000	-19,851242760441100000	-0,000527520690152043
-17,849549099999900000	-20,146579524269200000	-0,000527520699018161
-17,849548999999900000	-20,441916258563900000	-0,000527520707884279
-17,849548899999900000	-20,737252963325000000	-0,000527520716750398
-17,849548799999900000	-21,032589638552700000	-0,000527520725616516
-17,849548699999900000	-21,327926284246900000	-0,000527520734482635
-17,849548599999900000	-21,623262900407700000	-0,000527520743348754
-17,849548499999900000	-21,918599487035100000	

Звуковая функция(phonon quantum)

$$k(z)=\exp(i*kz)[3\text{th}^2z-1-k^2-3ik*\text{th}(z)]$$

$$z=mx^2/2^{1/2}$$

$$k(z)=\cos(kz)*(3\text{th}^2(z)-1-k^2-3ik*\text{th}(z))+i*\sin(kz)*(3\text{th}^2(z)-1-k^2-3ik*\text{th}(z))$$

$$k(z)=\cos(kz)*(3\text{th}^2(z)-1-k^2)+3*\sin(kz)*k*\text{th}(z)+i*(\sin(kz)*(3\text{th}^2(z)-1-k^2)-3k\text{th}(z))$$

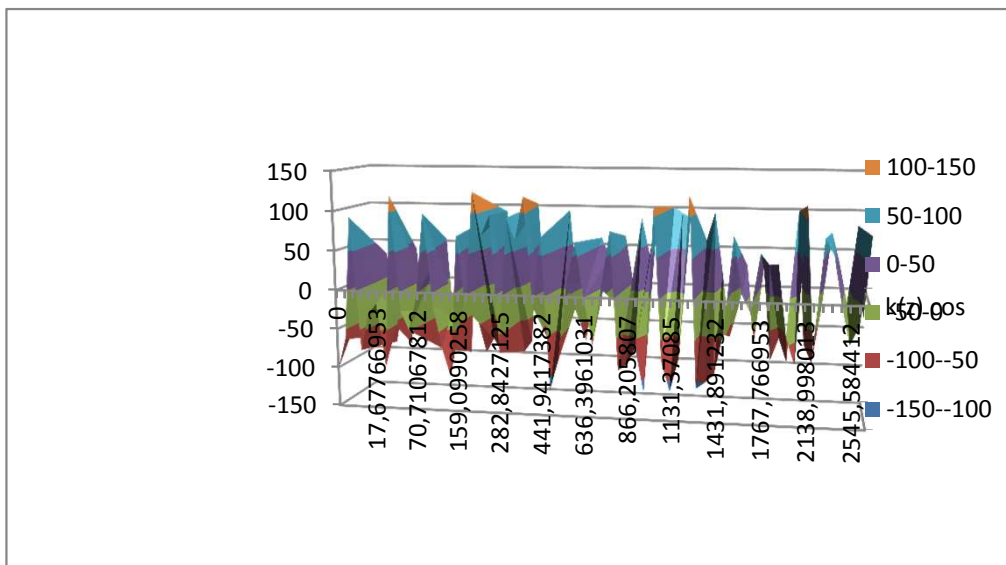
k(z) cos	k(z) sin	z	x	Δx	k
-101	0	0	0	0	1
-62,9913	-83,6904	0,707107		1	10
92,97715	30,76391	2,828427		2	
-75,9985	-91,562	6,363961		3	
-29,4617	-33,8707	11,31371		4	
-15,5756	-93,3196	17,67767		5	
-95,6085	38,63317	25,45584		6	
121,2292	-95,6787	34,64823		7	
-24,0481	-45,1378	45,25483		8	
-48,1989	-98,294	57,27565		9	
-4,94219	53,17583	70,71068		10	
99,11632	-100,688	85,55992		11	
-16,4258	-62,4166	101,8234		12	
-69,2712	-102,249	119,501		13	
-105,657	72,36893	138,5929		14	
71,73703	-102,233	159,099		15	
-18,3268	-82,3441	181,0193		16	
126,8265	-99,7985	204,3539		17	
73,71335	91,43134	229,1026		18	
98,33375	-94,0555	255,2655		19	
-72,3744	-98,4978	282,8427		20	
95,68213	-84,1654	311,8341		21	
68,17577	102,2285	342,2397		22	
121,7499	-69,4782	374,0595		23	
-13,5587	-101,225	407,2935		24	
72,64699	-49,712	441,9417		25	
-116,653	94,17032	478,0042		26	
-79,1597	-25,1621	515,4808		27	
16,22186	-80,0784	554,3717		28	
67,6092	3,094774	594,6768		29	
-1,87568	58,59675	636,3961		30	
-58,2924	33,04808	679,5296		31	
11,02721	-30,3427	724,0773		32	
81,82336	61,72408	770,0393		33	
-88,8013	-2,80478	817,4154		34	
-81,94	85,35519	866,2058		35	
-60,5615	37,55588	916,4104		36	
-115,482	99,81661	968,0292		37	
110,8379	-69,3233	1021,062		38	
-75,4518	101,3571	1075,509		39	
-112,565	92,71058	1131,371		40	
-71,375	87,57462	1188,646		41	
125,6278	-102,433	1247,336		42	

-107,74	58,47515	1307,44	43
-99,8255	94,62224	1368,959	44
-90,0144	17,33245	1431,891	45
-39,7607	-68,2899	1496,238	46
79,04421	-29,0306	1561,999	47
9,109658	26,56565	1629,174	48
-12,3891	-70,9168	1697,763	49
59,19605	22,83919	1767,767	50
45,81641	-97,6116	1839,185	51
46,93125	-68,4642	1912,017	52
-40,0394	-100,301	1986,263	53
-74,324	97,5228	2061,923	54
116,276	-75,4347	2138,998	55
-57,0959	-99,6964	2217,487	56
78,14131	-27,4053	2297,39	57
58,69032	71,37489	2378,707	58
-0,34276	30,84288	2461,439	59
-47,4656	-18,7603	2545,584	60
-22,9832	80,40448	2631,144	61
82,29841	-41,9869	2718,118	62

:)\*cos(kz))

Звуковая функция - фононы (псевдопотенциалы-псевдоскалярное поле)

График звуковой волны для  $m=1, k=10$



Фонон передает статический потенциал солитонной сети к другой солитонной сети

Фильтр 2-го порядка

$I_0, A$	$U_0, B$	$C, \Phi$	$L(\omega_0), ГН$	Интенсивность	$\vartheta_{\text{потока}}$
1,00E-09	1,00E-12	1,00E-12	-1,45E-01		
1,50E-09	1,50E-12	1,50E-12	-6,46E-02		
2,00E-09	2,00E-12	2,00E-12	-3,63E-02		
2,50E-09	2,50E-12	2,50E-12	-2,33E-02		
3,00E-09	3,00E-12	3,00E-12	-1,62E-02		
3,50E-09	3,50E-12	3,50E-12	-1,19E-02		
4,00E-09	4,00E-12	4,00E-12	-9,09E-03		
4,50E-09	4,50E-12	4,50E-12	-7,18E-03		
5,00E-09	5,00E-12	5,00E-12	-5,81E-03		
5,50E-09	5,50E-12	5,50E-12	-4,81E-03		
6,00E-09	6,00E-12	6,00E-12	-4,04E-03		
6,50E-09	6,50E-12	6,50E-12	-3,44E-03		
7,00E-09	7,00E-12	7,00E-12	-2,97E-03		
7,50E-09	7,50E-12	7,50E-12	-2,58E-03		
8,00E-09	8,00E-12	8,00E-12	-2,27E-03		
8,50E-09	8,50E-12	8,50E-12	-2,01E-03		
9,00E-09	9,00E-12	9,00E-12	-1,79E-03		
9,50E-09	9,50E-12	9,50E-12	-1,61E-03		
1,00E-08	1,00E-11	1,00E-11	-1,45E-03		
1,05E-08	1,05E-11	1,05E-11	-1,32E-03		
1,10E-08	1,10E-11	1,10E-11	-1,20E-03		
1,15E-08	1,15E-11	1,15E-11	-1,10E-03		
1,20E-08	1,20E-11	1,20E-11	-1,01E-03		
1,25E-08	1,25E-11	1,25E-11	-9,30E-04		

$$E_{\text{полн}} = LI_0^2/2 + CU_0^2/2$$

$$E = \chi \cdot \ln(\xi \cdot \epsilon) / PV$$

$$\omega_{sc} \text{ Гц} \quad -0,95$$

$$\omega_{inc} \text{ Гц} \quad 0,35$$















## Трансдуцирование

волновая функция входящей плоской волны и исходящей сферической

$$\Psi(r,t) = \exp(ikr) + f(\theta)/r \cdot \exp(ikr) = (\cos(kr) + i \cdot \sin(kr)) \cdot (1 + f(\theta)/r)$$

$$r^2 = x^2 + y^2 + z^2$$

Еполн	$\Psi_E$	$\Delta\xi$	$\xi$	10нм L(synapse l)	Maxwell Probability	волновая функция(тр	
						$\Psi(r,t)_{real}$	$\Psi(r,t)_{Im}$
-7,27E-20	0,079577	4,30327E+17	-3,12E+18	1,00E-08	0,322581	#ДЕЛ/0!	#ДЕЛ/0!
-7,27E-20	0,079577	-2,69353E+18			0,322581	50,96487	9,081603
-7,27E-20	0,079577				0,333333	24,76259	9,10612
-7,27E-20	0,079577				0,001	15,47789	9,03622
-7,27E-20	0,079575				0,001	10,43254	8,867399
-7,27E-20	0,079571				0,001	7,101971	8,600198
-7,27E-20	0,079564				0,001	4,653625	8,237695
-7,27E-20	0,079553				0,001	2,737933	7,785109
-7,26E-20	0,079536				0,001	1,185802	7,249622
-7,26E-20	0,079511				0,001	-0,0924	6,640211
-7,26E-20	0,079476				0,001	-1,14742	5,967457
-7,25E-20	0,079429				0,001	-2,00965	5,243309
-7,25E-20	0,079367				0,001	-2,69848	4,480828
-7,24E-20	0,079287				0,001	-3,22742	3,693891
-7,23E-20	0,079187				0,001	-3,60699	2,89688
-7,22E-20	0,079062				0,009505	-3,84651	2,10435
-7,21E-20	0,07891					-3,95513	1,330693
-7,19E-20	0,078725					-3,94246	0,58981
-7,17E-20	0,078505					-3,81898	-0,10522
-7,15E-20	0,078244					-3,59614	-0,74243
-7,12E-20	0,077937					-3,28644	-1,31128
	0					-2,9033	-1,80283

16 мод - 16 волновых функций с волновым числом  $k$ ,  $2\pi/\lambda$ , несущей частотой  $\omega_0$  и уровнем энергии  $N \cdot \hbar \omega_0$

Амплитуда рассеяния  
 $f(\theta) = \sum (2l+1) f_l(k) P_l(\cos(\theta))$

$$f_l(k) = (S_l - 1) / 2ik$$

$S_l = \exp(2i\delta_l)$  - элемент матрицы рассеяния

Интенсивность потока ионов (мембранный канал) (Na, Mg) (= средняя плотность энергии умноженна

$$\Psi_E = \Delta\xi \cdot \chi \cdot \xi^2 \cdot t^3 \cdot M \cdot L \cdot \omega_0^2 (2\cos^2(\omega_0 t) - 1) \cdot E_{полн}$$

амплитуды тока и напряжений для каждой из вероятных мод















ансдуцирование)

Амплитуда рассеяния

г,м	M <sub>depth</sub> %	f(θ),м	θ	f(θ)sin,м	f(θ)cos,м	ampfact1	ampfact2
0	0,98888	0,213224	1,570796	6,34E-05	0,213224	0	-0,0852
0,03		0,170598	1,571301	-0,00024038	0,170598	1,23E-19	-1,4E-17
0,06		0,009299	1,572816	-0,001026631	0,009242	-0,00669	0,160034
0,09		0,237714	1,575341	-0,001386029	-0,23771	-3,8E-18	3,46E-17
0,12		0,19637	1,578876	0,000210592	-0,19637	0,035569	-0,14903
0,15		0,248232	1,583422	0,001454279	0,248228	2,06E-17	-4,4E-17
0,18		0,042446	1,588977	-0,001163757	-0,04243	-0,09381	0,109189
0,21		0,103043	1,595544	0,000741805	-0,10304	-6,2E-17	3,93E-17
0,24		0,1289	1,603122	-0,000465942	0,128899	0,18384	-0,06166
0,27		0,052209	1,611713	0,000942791	-0,0522	1,4E-16	-2,3E-17
0,3		0,139536	1,621318	-0,001284904	-0,13953	-0,30426	0,021551
0,33		0,277149	1,631939	0,000865899	0,277148	-2,6E-16	5,76E-18
0,36		0,00155	1,643581	0,001070961	-0,00112	0,450341	-0,00095
0,39		0,25952	1,656245	-0,000359438	-0,25952	4,39E-16	-8,2E-19
0,42		0,247542	1,669939	-0,001072728	-0,24754	-0,61457	0,009168
0,45		0,182284	1,684667	-0,001156837	-0,18228	-6,7E-16	2,49E-17
0,48		0,186443	1,700439	-0,001120532	-0,18644	0,787259	-0,05255
0,51		0,251982	1,717264	-0,000925772	-0,25198	9,37E-16	-9,5E-17
0,54		0,23481	1,735155	-0,000107165	-0,23481	-0,95739	0,13418
0,57		0,062696	1,754127	0,001039502	0,062687	-1,2E-15	2,26E-16
0,6		0,24074	1,774196	0,00027434	0,24074	1,113469	-0,25372
0,63						1,56E-15	-4,3E-16
						-1,24442	0,407467
				0,000452688	1,523031	-1,9E-15	7,13E-16
-E						1,340525	-0,58858
						2,15E-15	-1,1E-15
						-1,39419	0,787568
						-2,4E-15	1,5E-15
						1,400615	-0,99297
						2,5E-15	-2E-15
						-1,35827	1,192162
						-2,5E-15	2,48E-15
						1,269112	-1,37227
						2,48E-15	-3E-15
						-1,13858	1,521126
я на скорость)						-2,3E-15	3,44E-15
						0,975302	-1,62823
						2,03E-15	-3,8E-15
						-0,79063	1,685529
						-1,7E-15	4,1E-15
						0,597862	-1,68812
						1,28E-15	-4,2E-15
						-0,41142	1,634709
						-8,7E-16	4,23E-15
						0,245815	-1,52782
						4,88E-16	-4,1E-15
						-0,11468	1,373766

-1,9E-16 3,73E-15  
0,029747 -1,18232  
2,29E-17 -3,3E-15  
0 0,96618  
-2,4E-17 2,69E-15  
0,03095 -0,74014  
2,29E-16 -2,1E-15  
-0,12415 0,520173  
-6,6E-16 1,42E-15  
0,276986 -0,32238  
1,32E-15 -8,3E-16  
-0,4827 0,161884  
-2,2E-15 3,64E-16  
0,730736 -0,05176  
3,26E-15 -7,1E-17  
-1,00738 0,002121  
-4,5E-15 8,32E-18  
1,296541 -0,01934  
5,78E-15 -2,2E-16  
-1,58081 0,105522  
-7,1E-15 7,19E-16  
1,842568 -0,25824  
8,34E-15 -1,5E-15  
-2,06516 0,470582  
-9,4E-15 2,61E-15  
2,234054 -0,73151  
1,03E-14 -3,9E-15  
-2,33782 1,026452  
-1,1E-14 5,46E-15  
2,36899 -1,33823  
1,12E-14 -7,1E-15  
-2,32466 1,648082  
-1,1E-14 8,75E-15  
2,206781 -1,93691  
1,06E-14 -1E-14  
-2,02212 2,186478  
-9,8E-15 1,17E-14  
1,781967 -2,38069  
8,62E-15 -1,3E-14  
-1,50147 2,506651  
-7,2E-15 1,36E-14  
1,198747 -2,5556  
5,73E-15 -1,4E-14  
-0,89374 2,52356  
-4,2E-15 1,39E-14  
0,606975 -2,41173  
2,73E-15 -1,3E-14  
-0,35822 2,22648  
-1,5E-15 1,23E-14  
0,165208 -1,97906  
5,63E-16 -1,1E-14  
-0,04239 1,684972  
-6,5E-17 9,3E-15  
0 -1,36302  
6,72E-17 -7,4E-15  
-0,04325 1,034193  
-6,2E-16 5,54E-15  
0,171919 -0,7203  
1,72E-15 -3,7E-15

-0,38029	0,442619
-3,4E-15	2,13E-15
0,657378	-0,22047
5,48E-15	-9,1E-16
-0,98757	0,069951
-8E-15	1,74E-16
1,351555	-0,00285
1,07E-14	-2E-17
-1,72748	0,02577
-1,4E-14	5,06E-16
2,092359	-0,13967
1,63E-14	-1,7E-15
-2,42349	0,339655
-1,9E-14	3,43E-15
2,699959	-0,61523
2,09E-14	-5,8E-15
-2,904	0,950869
-2,3E-14	8,59E-15
3,022179	-1,32693
2,34E-14	-1,2E-14
-3,04636	1,720868
-2,4E-14	1,5E-14
2,974266	-2,10862
2,3E-14	-1,8E-14
-2,80976	2,466143
-2,2E-14	2,12E-14
2,562657	-2,77095
1,97E-14	-2,4E-14
-2,2482	3,003572
-1,7E-14	2,56E-14
1,886157	-3,14887
1,43E-14	-2,7E-14
-1,49963	3,197037
-1,1E-14	2,72E-14
1,113594	-3,14434
8,05E-15	-2,7E-14
-0,75337	2,993416
-5,2E-15	2,53E-14
0,442971	-2,75321
2,79E-15	-2,3E-14
-0,20356	2,438464
-1E-15	2,04E-14
0,052053	-2,0689
1,2E-16	-1,7E-14
0	1,667976
-1,2E-16	1,36E-14
0,05275	-1,26147
1,11E-15	-1E-14
-0,20904	0,875835
-3,1E-15	6,66E-15
0,460997	-0,53655
5,97E-15	-3,8E-15
-0,79454	0,266469
-9,6E-15	1,6E-15
1,190218	-0,08431
1,39E-14	-3E-16
-1,62437	0,00342
-1,9E-14	3,44E-17
2,070594	-0,03089



2,32E-14 -8,7E-16  
-2,50139 0,166972  
-2,8E-14 2,81E-15  
2,889901 -0,40502  
3,18E-14 -5,8E-15  
-3,21164 0,731826  
-3,5E-14 9,69E-15  
3,446065 -1,12836  
3,75E-14 -1,4E-14  
-3,57795 1,57095  
-3,9E-14 1,94E-14  
3,598394 -2,03271  
3,88E-14 -2,5E-14  
-3,50549 2,485231  
-3,8E-14 2,97E-14  
3,304481 -2,90036  
3,52E-14 -3,4E-14  
-3,00756 3,252016  
-3,2E-14 3,82E-14  
2,633132 -3,51784  
2,75E-14 -4,1E-14  
-2,20471 3,68068  
-2,3E-14 4,27E-14  
1,749502 -3,72974  
1,77E-14 -4,3E-14  
-1,29669 3,661335  
-1,3E-14 4,2E-14  
0,875624 -3,47917  
8,13E-15 -4E-14  
-0,51393 3,194222  
-4,3E-15 3,61E-14  
0,235749 -2,8241  
1,62E-15 -3,2E-14  
-0,06018 2,391977  
-1,9E-16 2,64E-14  
0 -1,92522  
1,88E-16 -2,1E-14  
-0,06079 1,45363  
-1,7E-15 1,53E-14  
0,2405 -1,00764  
4,69E-15 -1E-14  
-0,52954 0,616335  
-9E-15 5,71E-15  
0,911287 -0,30562  
1,45E-14 -2,4E-15  
-1,36306 0,096548  
-2,1E-14 4,54E-16  
1,857541 -0,00391  
2,76E-14 -5,1E-17  
-2,36443 0,035271  
-3,4E-14 1,29E-15  
2,852355 -0,1904  
4,1E-14 -4,2E-15  
-3,29086 0,461217  
-4,7E-14 8,54E-15  
3,652324 -0,83224  
5,15E-14 -1,4E-14  
-3,91376 1,281501  
-5,5E-14 2,09E-14

4,058306	-1,78186
5,64E-14	-2,8E-14
-4,07634	2,302701
-5,6E-14	3,57E-14
3,96618	-2,81184
5,43E-14	-4,3E-14
-3,73422	3,277552
-5,1E-14	4,94E-14
3,39465	-3,67057
4,56E-14	-5,5E-14
-2,96856	3,965969
-3,9E-14	5,87E-14
2,482722	-4,14481
3,24E-14	-6,1E-14
-1,9679	4,195347
-2,5E-14	6,12E-14
1,456959	-4,11386
1,79E-14	-6E-14
-0,98278	3,904958
-1,1E-14	5,6E-14
0,576211	-3,58134
6,12E-15	-5,1E-14
-0,26404	3,163056
-2,3E-15	4,44E-14
0,067336	-2,67633
2,59E-16	-3,7E-14
0	2,151921
-2,6E-16	2,91E-14
0,067876	-1,6232
2,36E-15	-2,1E-14
-0,2683	1,124094
-6,5E-15	1,4E-14
0,590182	-0,68691
1,25E-14	-7,9E-15
-1,01469	0,340301
-2E-14	3,31E-15
1,51633	-0,1074
2,86E-14	-6,2E-16
-2,06454	0,004347
-3,8E-14	7,03E-17
2,625582	-0,03917
4,72E-14	-1,8E-15
-3,16463	0,211244
-5,6E-14	5,67E-15
3,648008	-0,51127
6,37E-14	-1,2E-14
-4,04528	0,921785
-7E-14	1,93E-14
4,331245	-1,4182
7,42E-14	-2,8E-14
-4,48754	1,970318
-7,6E-14	3,81E-14
4,503855	-2,5442
7,58E-14	-4,8E-14
-4,37867	3,104279
-7,3E-14	5,77E-14
4,119378	-3,6156
6,8E-14	-6,6E-14
-3,74191	4,046047

-6,1E-14 7,33E-14  
3,269761 -4,36837  
5,26E-14 -7,8E-14  
-2,73259 4,56196  
-4,3E-14 8,11E-14  
2,164373 -4,6142  
3,33E-14 -8,1E-14  
-1,60126 4,521322  
-2,4E-14 7,9E-14  
1,079358 -4,28868  
1,52E-14 -7,4E-14  
-0,63239 3,930505  
-8,1E-15 6,72E-14  
0,289588 -3,46905  
3E-15 -5,8E-14  
-0,0738 2,933252  
-3,4E-16 4,86E-14  
0 -2,35692  
3,44E-16 -3,8E-14  
-0,07429 1,776661  
-3,1E-15 2,78E-14  
0,293469 -1,22957  
8,49E-15 -1,8E-14  
-0,64515 0,750883  
-1,6E-14 1,03E-14  
1,108486 -0,37176  
2,6E-14 -4,3E-15  
-1,65547 0,11726  
-3,7E-14 8,11E-16  
2,252601 -0,00474  
4,91E-14 -9,1E-17  
-2,86301 0,042709  
-6,1E-14 2,28E-15  
3,44875 -0,23021  
7,24E-14 -7,3E-15  
-3,97318 0,556846  
-8,2E-14 1,5E-14  
4,40331 -1,00337  
9,01E-14 -2,5E-14  
-4,71188 1,542833  
-9,5E-14 3,64E-14  
4,879151 -2,14226  
9,78E-14 -4,9E-14  
-4,89416 2,764683  
-9,7E-14 6,16E-14  
4,755512 -3,37144  
9,35E-14 -7,4E-14  
-4,47148 3,924643  
-8,7E-14 8,47E-14  
4,059566 -4,38953  
7,79E-14 -9,4E-14  
-3,54546 4,736704  
-6,7E-14 9,99E-14  
2,961457 -4,94404  
5,49E-14 -1E-13  
-2,34444 4,998081  
-4,2E-14 1,03E-13  
1,733599 -4,89498  
3,02E-14 -1E-13

-1,16797	4,640781
-1,9E-14	9,39E-14
0,68397	-4,25109
1,02E-14	-8,5E-14
-0,31305	3,750164
-3,8E-15	7,38E-14
0,079742	-3,16941
4,29E-16	-6,1E-14
0	2,545462
-4,3E-16	4,8E-14
0,080198	-1,91788
3,89E-15	-3,5E-14
-0,31665	1,326682
-1,1E-14	2,3E-14
0,69578	-0,80982
2,04E-14	-1,3E-14
-1,19494	0,400754
-3,3E-14	5,4E-15
1,783786	-0,12635
4,65E-14	-1E-15
-2,42613	0,005108
-6,1E-14	1,14E-16
3,082206	-0,04598
7,62E-14	-2,8E-15
-3,71118	0,247727
-9E-14	9,13E-15
4,273686	-0,59896
1,02E-13	-1,9E-14
-4,73434	1,078798
-1,1E-13	3,09E-14
5,06399	-1,65813
1,18E-13	-4,5E-14
-5,24159	2,301395
-1,2E-13	6,06E-14
5,255566	-2,96884
1,2E-13	-7,6E-14
-5,10461	3,618939
-1,2E-13	9,12E-14
4,797806	-4,21106
1,07E-13	-1E-13
-4,35411	4,708012
-9,6E-14	1,15E-13
3,801221	-5,07839
8,25E-14	-1,2E-13
-3,17386	5,298635
-6,8E-14	1,27E-13
2,511625	-5,35451
5,2E-14	-1,3E-13
-1,85652	5,242073
-3,7E-14	1,23E-13
1,250324	-4,96799
2,36E-14	-1,2E-13
-0,73192	4,549141
-1,3E-14	1,04E-13
0,334881	-4,01162
4,64E-15	-9E-14
-0,08527	3,389155
-5,2E-16	7,48E-14

fl(k)sin()	f <sub>i</sub> (k)cos()	Элемент матрицы		фаза, рад		Многочлен Лежандра		cos(θ)
		S <sub>i</sub> sin()	S <sub>i</sub> cos()	δ	P <sub>i</sub>	l		
0	-0,0852	0	1	0		1	0	6,12574E-17
0,000672	-0,07452	0,125333234	0,992115	0,062832	6,12574E-17		1	-0,000505
0,002677	-0,06401	0,248689887	0,968583	0,125664	-0,5		2	-0,00202
0,005983	-0,05384	0,368124553	0,929776	0,188496	-9,18861E-17		3	-0,004545
0,010539	-0,04416	0,481753674	0,876307	0,251327	0,375		4	-0,00808
0,016272	-0,03512	0,587785252	0,809017	0,314159	1,14858E-16		5	-0,012625
0,023093	-0,02688	0,684547106	0,728969	0,376991	-0,3125		6	-0,01818
0,030892	-0,01955	0,770513243	0,637424	0,439823	-1,34001E-16		7	-0,024745
0,039549	-0,01326	0,844327926	0,535827	0,502655	0,2734375		8	-0,03232
0,048925	-0,00811	0,904827052	0,425779	0,565487	1,50751E-16		9	-0,040905
0,058874	-0,00417	0,951056516	0,309017	0,628319	-0,24609375		10	-0,0505
0,069237	-0,00151	0,982287251	0,187381	0,69115	-1,65826E-16		11	-0,061105
0,079853	-0,00017	0,998026728	0,062791	0,753982	0,225585938		12	-0,07272
0,090553	-0,00017	0,998026728	-0,06279	0,816814	1,79645E-16		13	-0,085345
0,101168	-0,00151	0,982287251	-0,18738	0,879646	-0,209472656		14	-0,09898
0,111532	-0,00417	0,951056516	-0,30902	0,942478	-1,92476E-16		15	-0,113625
0,12148	-0,00811	0,904827052	-0,42578	1,00531	0,196380615		16	-0,12928
0,130856	-0,01326	0,844327926	-0,53583	1,068142	2,04506E-16		17	-0,145945
0,139513	-0,01955	0,770513243	-0,63742	1,130973	-0,185470581		18	-0,16362
0,147313	-0,02688	0,684547106	-0,72897	1,193805	-2,15868E-16		19	-0,182305
0,154133	-0,03512	0,587785252	-0,80902	1,256637	0,176197052		20	-0,202
0,159866	-0,04416	0,481753674	-0,87631	1,319469	2,26661E-16		21	
0,164422	-0,05384	0,368124553	-0,92978	1,382301	-0,168188095		22	
0,167728	-0,06401	0,248689887	-0,96858	1,445133	-2,36964E-16		23	
0,169733	-0,07452	0,125333234	-0,99211	1,507964	0,161180258		24	
0,170405	-0,0852	-1,20975E-15	-1	1,570796	2,46837E-16		25	
0,169733	-0,09588	-0,125333234	-0,99211	1,633628	-0,154981017		26	
0,167728	-0,10639	-0,248689887	-0,96858	1,69646	-2,56331E-16		27	
0,164422	-0,11657	-0,368124553	-0,92978	1,759292	0,149445981		28	
0,159866	-0,12625	-0,481753674	-0,87631	1,822124	2,65486E-16		29	
0,154133	-0,13528	-0,587785252	-0,80902	1,884956	-0,144464448		30	
0,147313	-0,14353	-0,684547106	-0,72897	1,947787	-2,74335E-16		31	
0,139513	-0,15085	-0,770513243	-0,63742	2,010619	0,139949934		32	
0,130856	-0,15714	-0,844327926	-0,53583	2,073451	2,82908E-16		33	
0,12148	-0,1623	-0,904827052	-0,42578	2,136283	-0,13583376		34	
0,111532	-0,16624	-0,951056516	-0,30902	2,199115	-2,91229E-16		35	
0,101168	-0,1689	-0,982287251	-0,18738	2,261947	0,1320606		36	
0,090553	-0,17024	-0,998026728	-0,06279	2,324779	2,99319E-16		37	
0,079853	-0,17024	-0,998026728	0,062791	2,38761	-0,128585321		38	
0,069237	-0,1689	-0,982287251	0,187381	2,450442	-3,07195E-16		39	
0,058874	-0,16624	-0,951056516	0,309017	2,513274	0,125370688		40	
0,048925	-0,1623	-0,904827052	0,425779	2,576106	3,14875E-16		41	
0,039549	-0,15714	-0,844327926	0,535827	2,638938	-0,122385671		42	
0,030892	-0,15085	-0,770513243	0,637424	2,70177	-3,22372E-16		43	
0,023093	-0,14353	-0,684547106	0,728969	2,764602	0,119604179		44	
0,016272	-0,13528	-0,587785252	0,809017	2,827433	3,29699E-16		45	
0,010539	-0,12625	-0,481753674	0,876307	2,890265	-0,117004088		46	

0,005983	-0,11657	-0,368124553	0,929776	2,953097	-3,36866E-16	47
0,002677	-0,10639	-0,248689887	0,968583	3,015929	0,114566503	48
0,000672	-0,09588	-0,125333234	0,992115	3,078761	3,43884E-16	49
0	-0,0852	5,08404E-15	1	3,141593	-0,112275173	50
0,000672	-0,07452	0,125333234	0,992115	3,204425	-3,50762E-16	51
0,002677	-0,06401	0,248689887	0,968583	3,267256	0,110116035	52
0,005983	-0,05384	0,368124553	0,929776	3,330088	3,57507E-16	53
0,010539	-0,04416	0,481753674	0,876307	3,39292	-0,108076849	54
0,016272	-0,03512	0,587785252	0,809017	3,455752	-3,64128E-16	55
0,023093	-0,02688	0,684547106	0,728969	3,518584	0,106146905	56
0,030892	-0,01955	0,770513243	0,637424	3,581416	3,7063E-16	57
0,039549	-0,01326	0,844327926	0,535827	3,644247	-0,104316786	58
0,048925	-0,00811	0,904827052	0,425779	3,707079	-3,7702E-16	59
0,058874	-0,00417	0,951056516	0,309017	3,769911	0,102578173	60
0,069237	-0,00151	0,982287251	0,187381	3,832743	3,83304E-16	61
0,079853	-0,00017	0,998026728	0,062791	3,895575	-0,100923686	62
0,090553	-0,00017	0,998026728	-0,06279	3,958407	-3,89486E-16	63
0,101168	-0,00151	0,982287251	-0,18738	4,021239	0,099346754	64
0,111532	-0,00417	0,951056516	-0,30902	4,08407	3,95572E-16	65
0,12148	-0,00811	0,904827052	-0,42578	4,146902	-0,0978415	66
0,130856	-0,01326	0,844327926	-0,53583	4,209734	-4,01566E-16	67
0,139513	-0,01955	0,770513243	-0,63742	4,272566	0,096402654	68
0,147313	-0,02688	0,684547106	-0,72897	4,335398	4,07471E-16	69
0,154133	-0,03512	0,587785252	-0,80902	4,39823	-0,095025474	70
0,159866	-0,04416	0,481753674	-0,87631	4,461062	-4,13292E-16	71
0,164422	-0,05384	0,368124553	-0,92978	4,523893	0,093705675	72
0,167728	-0,06401	0,248689887	-0,96858	4,586725	4,19032E-16	73
0,169733	-0,07452	0,125333234	-0,99211	4,649557	-0,092439382	74
0,170405	-0,0852	3,67545E-16	-1	4,712389	-4,24695E-16	75
0,169733	-0,09588	-0,125333234	-0,99211	4,775221	0,091223075	76
0,167728	-0,10639	-0,248689887	-0,96858	4,838053	4,30283E-16	77
0,164422	-0,11657	-0,368124553	-0,92978	4,900885	-0,090053548	78
0,159866	-0,12625	-0,481753674	-0,87631	4,963716	-4,35799E-16	79
0,154133	-0,13528	-0,587785252	-0,80902	5,026548	0,088927879	80
0,147313	-0,14353	-0,684547106	-0,72897	5,08938	4,41247E-16	81
0,139513	-0,15085	-0,770513243	-0,63742	5,152212	-0,087843392	82
0,130856	-0,15714	-0,844327926	-0,53583	5,215044	-4,46628E-16	83
0,12148	-0,1623	-0,904827052	-0,42578	5,277876	0,086797638	84
0,111532	-0,16624	-0,951056516	-0,30902	5,340708	4,51945E-16	85
0,101168	-0,1689	-0,982287251	-0,18738	5,403539	-0,085788363	86
0,090553	-0,17024	-0,998026728	-0,06279	5,466371	-4,572E-16	87
0,079853	-0,17024	-0,998026728	0,062791	5,529203	0,084813495	88
0,069237	-0,1689	-0,982287251	0,187381	5,592035	4,62396E-16	89
0,058874	-0,16624	-0,951056516	0,309017	5,654867	-0,083871123	90
0,048925	-0,1623	-0,904827052	0,425779	5,717699	-4,67533E-16	91
0,039549	-0,15714	-0,844327926	0,535827	5,78053	0,08295948	92
0,030892	-0,15085	-0,770513243	0,637424	5,843362	4,72615E-16	93
0,023093	-0,14353	-0,684547106	0,728969	5,906194	-0,082076933	94
0,016272	-0,13528	-0,587785252	0,809017	5,969026	-4,77643E-16	95
0,010539	-0,12625	-0,481753674	0,876307	6,031858	0,081221965	96
0,005983	-0,11657	-0,368124553	0,929776	6,09469	4,82618E-16	97
0,002677	-0,10639	-0,248689887	0,968583	6,157522	-0,080393169	98
0,000672	-0,09588	-0,125333234	0,992115	6,220353	-4,87543E-16	99
0	-0,0852	-1,82536E-14	1	6,283185	0,079589237	100
0,000672	-0,07452	0,125333234	0,992115	6,346017	4,92419E-16	101
0,002677	-0,06401	0,248689887	0,968583	6,408849	-0,078808951	102
0,005983	-0,05384	0,368124553	0,929776	6,471681	-4,97246E-16	103
0,010539	-0,04416	0,481753674	0,876307	6,534513	0,078051172	104
0,016272	-0,03512	0,587785252	0,809017	6,597345	5,02027E-16	105

0,023093	-0,02688	0,684547106	0,728969	6,660176	-0,077314841	106
0,030892	-0,01955	0,770513243	0,637424	6,723008	-5,06764E-16	107
0,039549	-0,01326	0,844327926	0,535827	6,78584	0,076598962	108
0,048925	-0,00811	0,904827052	0,425779	6,848672	5,11456E-16	109
0,058874	-0,00417	0,951056516	0,309017	6,911504	-0,075902608	110
0,069237	-0,00151	0,982287251	0,187381	6,974336	-5,16105E-16	111
0,079853	-0,00017	0,998026728	0,062791	7,037168	0,075224906	112
0,090553	-0,00017	0,998026728	-0,06279	7,099999	5,20713E-16	113
0,101168	-0,00151	0,982287251	-0,18738	7,162831	-0,074565039	114
0,111532	-0,00417	0,951056516	-0,30902	7,225663	-5,25281E-16	115
0,12148	-0,00811	0,904827052	-0,42578	7,288495	0,073922237	116
0,130856	-0,01326	0,844327926	-0,53583	7,351327	5,29809E-16	117
0,139513	-0,01955	0,770513243	-0,63742	7,414159	-0,073295777	118
0,147313	-0,02688	0,684547106	-0,72897	7,476991	-5,34299E-16	119
0,154133	-0,03512	0,587785252	-0,80902	7,539822	0,072684979	120
0,159866	-0,04416	0,481753674	-0,87631	7,602654	5,38752E-16	121
0,164422	-0,05384	0,368124553	-0,92978	7,665486	-0,0720892	122
0,167728	-0,06401	0,248689887	-0,96858	7,728318	-5,43168E-16	123
0,169733	-0,07452	0,125333234	-0,99211	7,79115	0,071507836	124
0,170405	-0,0852	3,61397E-14	-1	7,853982	5,47548E-16	125
0,169733	-0,09588	-0,125333234	-0,99211	7,916813	-0,070940313	126
0,167728	-0,10639	-0,248689887	-0,96858	7,979645	-5,51894E-16	127
0,164422	-0,11657	-0,368124553	-0,92978	8,042477	0,070386092	128
0,159866	-0,12625	-0,481753674	-0,87631	8,105309	5,56206E-16	129
0,154133	-0,13528	-0,587785252	-0,80902	8,168141	-0,069844661	130
0,147313	-0,14353	-0,684547106	-0,72897	8,230973	-5,60484E-16	131
0,139513	-0,15085	-0,770513243	-0,63742	8,293805	0,069315534	132
0,130856	-0,15714	-0,844327926	-0,53583	8,356636	5,6473E-16	133
0,12148	-0,1623	-0,904827052	-0,42578	8,419468	-0,068798254	134
0,111532	-0,16624	-0,951056516	-0,30902	8,4823	-5,68945E-16	135
0,101168	-0,1689	-0,982287251	-0,18738	8,545132	0,068292385	136
0,090553	-0,17024	-0,998026728	-0,06279	8,607964	5,73128E-16	137
0,079853	-0,17024	-0,998026728	0,062791	8,670796	-0,067797512	138
0,069237	-0,1689	-0,982287251	0,187381	8,733628	-5,77281E-16	139
0,058874	-0,16624	-0,951056516	0,309017	8,796459	0,067313245	140
0,048925	-0,1623	-0,904827052	0,425779	8,859291	5,81404E-16	141
0,039549	-0,15714	-0,844327926	0,535827	8,922123	-0,066839208	142
0,030892	-0,15085	-0,770513243	0,637424	8,984955	-5,85499E-16	143
0,023093	-0,14353	-0,684547106	0,728969	9,047787	0,066375046	144
0,016272	-0,13528	-0,587785252	0,809017	9,110619	5,89565E-16	145
0,010539	-0,12625	-0,481753674	0,876307	9,173451	-0,065920423	146
0,005983	-0,11657	-0,368124553	0,929776	9,236282	-5,93603E-16	147
0,002677	-0,10639	-0,248689887	0,968583	9,299114	0,065475015	148
0,000672	-0,09588	-0,125333234	0,992115	9,361946	5,97614E-16	149
0	-0,0852	-5,40258E-14	1	9,424778	-0,065038514	150
0,000672	-0,07452	0,125333234	0,992115	9,48761	-6,01598E-16	151
0,002677	-0,06401	0,248689887	0,968583	9,550442	0,06461063	152
0,005983	-0,05384	0,368124553	0,929776	9,613274	6,05556E-16	153
0,010539	-0,04416	0,481753674	0,876307	9,676105	-0,06419108	154
0,016272	-0,03512	0,587785252	0,809017	9,738937	-6,09488E-16	155
0,023093	-0,02688	0,684547106	0,728969	9,801769	0,063779599	156
0,030892	-0,01955	0,770513243	0,637424	9,864601	6,13395E-16	157
0,039549	-0,01326	0,844327926	0,535827	9,927433	-0,06337593	158
0,048925	-0,00811	0,904827052	0,425779	9,990265	-6,17277E-16	159
0,058874	-0,00417	0,951056516	0,309017	10,0531	0,062979831	160
0,069237	-0,00151	0,982287251	0,187381	10,11593	6,21135E-16	161
0,079853	-0,00017	0,998026728	0,062791	10,17876	-0,062591066	162
0,090553	-0,00017	0,998026728	-0,06279	10,24159	-6,24969E-16	163
0,101168	-0,00151	0,982287251	-0,18738	10,30442	0,062209414	164



0,111532	-0,00417	0,951056516	-0,30902	10,36726	6,2878E-16	165
0,12148	-0,00811	0,904827052	-0,42578	10,43009	-0,061834658	166
0,130856	-0,01326	0,844327926	-0,53583	10,49292	-6,32568E-16	167
0,139513	-0,01955	0,770513243	-0,63742	10,55575	0,061466595	168
0,147313	-0,02688	0,684547106	-0,72897	10,61858	6,36333E-16	169
0,154133	-0,03512	0,587785252	-0,80902	10,68142	-0,061105026	170
0,159866	-0,04416	0,481753674	-0,87631	10,74425	-6,40076E-16	171
0,164422	-0,05384	0,368124553	-0,92978	10,80708	0,060749765	172
0,167728	-0,06401	0,248689887	-0,96858	10,86991	6,43798E-16	173
0,169733	-0,07452	0,125333234	-0,99211	10,93274	-0,060400628	174
0,170405	-0,0852	7,19119E-14	-1	10,99557	-6,47498E-16	175
0,169733	-0,09588	-0,125333234	-0,99211	11,05841	0,060057443	176
0,167728	-0,10639	-0,248689887	-0,96858	11,12124	6,51177E-16	177
0,164422	-0,11657	-0,368124553	-0,92978	11,18407	-0,059720041	178
0,159866	-0,12625	-0,481753674	-0,87631	11,2469	-6,54835E-16	179
0,154133	-0,13528	-0,587785252	-0,80902	11,30973	0,059388263	180
0,147313	-0,14353	-0,684547106	-0,72897	11,37257	6,58473E-16	181
0,139513	-0,15085	-0,770513243	-0,63742	11,4354	-0,059061954	182
0,130856	-0,15714	-0,844327926	-0,53583	11,49823	-6,62091E-16	183
0,12148	-0,1623	-0,904827052	-0,42578	11,56106	0,058740965	184
0,111532	-0,16624	-0,951056516	-0,30902	11,62389	6,65689E-16	185
0,101168	-0,1689	-0,982287251	-0,18738	11,68672	-0,058425154	186
0,090553	-0,17024	-0,998026728	-0,06279	11,74956	-6,69268E-16	187
0,079853	-0,17024	-0,998026728	0,062791	11,81239	0,058114382	188
0,069237	-0,1689	-0,982287251	0,187381	11,87522	6,72828E-16	189
0,058874	-0,16624	-0,951056516	0,309017	11,93805	-0,057808516	190
0,048925	-0,1623	-0,904827052	0,425779	12,00088	-6,76369E-16	191
0,039549	-0,15714	-0,844327926	0,535827	12,06372	0,05750743	192
0,030892	-0,15085	-0,770513243	0,637424	12,12655	6,79892E-16	193
0,023093	-0,14353	-0,684547106	0,728969	12,18938	-0,057211	194
0,016272	-0,13528	-0,587785252	0,809017	12,25221	-6,83397E-16	195
0,010539	-0,12625	-0,481753674	0,876307	12,31504	0,056919107	196
0,005983	-0,11657	-0,368124553	0,929776	12,37788	6,86883E-16	197
0,002677	-0,10639	-0,248689887	0,968583	12,44071	-0,056631637	198
0,000672	-0,09588	-0,125333234	0,992115	12,50354	-6,90353E-16	199
0	-0,0852	-8,9798E-14	1	12,56637	0,056348479	200
0,000672	-0,07452	0,125333234	0,992115	12,6292	6,93804E-16	201
0,002677	-0,06401	0,248689887	0,968583	12,69203	-0,056069526	202
0,005983	-0,05384	0,368124553	0,929776	12,75487	-6,97239E-16	203
0,010539	-0,04416	0,481753674	0,876307	12,8177	0,055794676	204
0,016272	-0,03512	0,587785252	0,809017	12,88053	7,00657E-16	205
0,023093	-0,02688	0,684547106	0,728969	12,94336	-0,055523828	206
0,030892	-0,01955	0,770513243	0,637424	13,00619	-7,04058E-16	207
0,039549	-0,01326	0,844327926	0,535827	13,06903	0,055256886	208
0,048925	-0,00811	0,904827052	0,425779	13,13186	7,07443E-16	209
0,058874	-0,00417	0,951056516	0,309017	13,19469	-0,054993758	210
0,069237	-0,00151	0,982287251	0,187381	13,25752	-7,10812E-16	211
0,079853	-0,00017	0,998026728	0,062791	13,32035	0,054734354	212
0,090553	-0,00017	0,998026728	-0,06279	13,38318	7,14165E-16	213
0,101168	-0,00151	0,982287251	-0,18738	13,44602	-0,054478586	214
0,111532	-0,00417	0,951056516	-0,30902	13,50885	-7,17502E-16	215
0,12148	-0,00811	0,904827052	-0,42578	13,57168	0,05422637	216
0,130856	-0,01326	0,844327926	-0,53583	13,63451	7,20824E-16	217
0,139513	-0,01955	0,770513243	-0,63742	13,69734	-0,053977625	218
0,147313	-0,02688	0,684547106	-0,72897	13,76018	-7,2413E-16	219
0,154133	-0,03512	0,587785252	-0,80902	13,82301	0,053732272	220
0,159866	-0,04416	0,481753674	-0,87631	13,88584	7,27422E-16	221
0,164422	-0,05384	0,368124553	-0,92978	13,94867	-0,053490235	222
0,167728	-0,06401	0,248689887	-0,96858	14,0115	-7,30698E-16	223



0,169733	-0,07452	0,125333234	-0,99211	14,07434	0,053251439	224
0,170405	-0,0852	1,07684E-13	-1	14,13717	7,3396E-16	225
0,169733	-0,09588	-0,125333234	-0,99211	14,2	-0,053015813	226
0,167728	-0,10639	-0,248689887	-0,96858	14,26283	-7,37208E-16	227
0,164422	-0,11657	-0,368124553	-0,92978	14,32566	0,052783288	228
0,159866	-0,12625	-0,481753674	-0,87631	14,38849	7,40441E-16	229
0,154133	-0,13528	-0,587785252	-0,80902	14,45133	-0,052553795	230
0,147313	-0,14353	-0,684547106	-0,72897	14,51416	-7,43661E-16	231
0,139513	-0,15085	-0,770513243	-0,63742	14,57699	0,05232727	232
0,130856	-0,15714	-0,844327926	-0,53583	14,63982	7,46866E-16	233
0,12148	-0,1623	-0,904827052	-0,42578	14,70265	-0,05210365	234
0,111532	-0,16624	-0,951056516	-0,30902	14,76549	-7,50058E-16	235
0,101168	-0,1689	-0,982287251	-0,18738	14,82832	0,051882871	236
0,090553	-0,17024	-0,998026728	-0,06279	14,89115	7,53236E-16	237
0,079853	-0,17024	-0,998026728	0,062791	14,95398	-0,051664876	238
0,069237	-0,1689	-0,982287251	0,187381	15,01681	-7,56401E-16	239
0,058874	-0,16624	-0,951056516	0,309017	15,07964	0,051449606	240
0,048925	-0,1623	-0,904827052	0,425779	15,14248	7,59553E-16	241
0,039549	-0,15714	-0,844327926	0,535827	15,20531	-0,051237004	242
0,030892	-0,15085	-0,770513243	0,637424	15,26814	-7,62691E-16	243
0,023093	-0,14353	-0,684547106	0,728969	15,33097	0,051027016	244
0,016272	-0,13528	-0,587785252	0,809017	15,3938	7,65817E-16	245
0,010539	-0,12625	-0,481753674	0,876307	15,45664	-0,05081959	246
0,005983	-0,11657	-0,368124553	0,929776	15,51947	-7,6893E-16	247
0,002677	-0,10639	-0,248689887	0,968583	15,5823	0,050614672	248
0,000672	-0,09588	-0,125333234	0,992115	15,64513	7,72031E-16	249
0	-0,0852	-1,2557E-13	1	15,70796	-0,050412213	250
0,000672	-0,07452	0,125333234	0,992115	15,7708	-7,75119E-16	251
0,002677	-0,06401	0,248689887	0,968583	15,83363	0,050212165	252
0,005983	-0,05384	0,368124553	0,929776	15,89646	7,78195E-16	253
0,010539	-0,04416	0,481753674	0,876307	15,95929	-0,050014479	254
0,016272	-0,03512	0,587785252	0,809017	16,02212	-7,81258E-16	255
0,023093	-0,02688	0,684547106	0,728969	16,08495	0,04981911	256
0,030892	-0,01955	0,770513243	0,637424	16,14779	7,8431E-16	257
0,039549	-0,01326	0,844327926	0,535827	16,21062	-0,049626013	258
0,048925	-0,00811	0,904827052	0,425779	16,27345	-7,8735E-16	259
0,058874	-0,00417	0,951056516	0,309017	16,33628	0,049435143	260
0,069237	-0,00151	0,982287251	0,187381	16,39911	7,90378E-16	261
0,079853	-0,00017	0,998026728	0,062791	16,46195	-0,04924646	262
0,090553	-0,00017	0,998026728	-0,06279	16,52478	-7,93395E-16	263
0,101168	-0,00151	0,982287251	-0,18738	16,58761	0,04905992	264
0,111532	-0,00417	0,951056516	-0,30902	16,65044	7,964E-16	265
0,12148	-0,00811	0,904827052	-0,42578	16,71327	-0,048875484	266
0,130856	-0,01326	0,844327926	-0,53583	16,7761	-7,99394E-16	267
0,139513	-0,01955	0,770513243	-0,63742	16,83894	0,048693113	268
0,147313	-0,02688	0,684547106	-0,72897	16,90177	8,02377E-16	269
0,154133	-0,03512	0,587785252	-0,80902	16,9646	-0,048512768	270
0,159866	-0,04416	0,481753674	-0,87631	17,02743	-8,05349E-16	271
0,164422	-0,05384	0,368124553	-0,92978	17,09026	0,048334412	272
0,167728	-0,06401	0,248689887	-0,96858	17,1531	8,0831E-16	273
0,169733	-0,07452	0,125333234	-0,99211	17,21593	-0,048158009	274
0,170405	-0,0852	1,39903E-13	-1	17,27876	-8,1126E-16	275
0,169733	-0,09588	-0,125333234	-0,99211	17,34159	0,047983524	276
0,167728	-0,10639	-0,248689887	-0,96858	17,40442	8,14199E-16	277
0,164422	-0,11657	-0,368124553	-0,92978	17,46726	-0,047810921	278
0,159866	-0,12625	-0,481753674	-0,87631	17,53009	-8,17128E-16	279
0,154133	-0,13528	-0,587785252	-0,80902	17,59292	0,047640168	280
0,147313	-0,14353	-0,684547106	-0,72897	17,65575	8,20046E-16	281
0,139513	-0,15085	-0,770513243	-0,63742	17,71858	-0,047471231	282

0,130856	-0,15714	-0,844327926	-0,53583	17,78141	-8,22954E-16	283
0,12148	-0,1623	-0,904827052	-0,42578	17,84425	0,047304079	284
0,111532	-0,16624	-0,951056516	-0,30902	17,90708	8,25852E-16	285
0,101168	-0,1689	-0,982287251	-0,18738	17,96991	-0,04713868	286
0,090553	-0,17024	-0,998026728	-0,06279	18,03274	-8,28739E-16	287
0,079853	-0,17024	-0,998026728	0,062791	18,09557	0,046975004	288
0,069237	-0,1689	-0,982287251	0,187381	18,15841	8,31617E-16	289
0,058874	-0,16624	-0,951056516	0,309017	18,22124	-0,046813021	290
0,048925	-0,1623	-0,904827052	0,425779	18,28407	-8,34485E-16	291
0,039549	-0,15714	-0,844327926	0,535827	18,3469	0,046652703	292
0,030892	-0,15085	-0,770513243	0,637424	18,40973	8,37343E-16	293
0,023093	-0,14353	-0,684547106	0,728969	18,47256	-0,04649402	294
0,016272	-0,13528	-0,587785252	0,809017	18,5354	-8,40191E-16	295
0,010539	-0,12625	-0,481753674	0,876307	18,59823	0,046336946	296
0,005983	-0,11657	-0,368124553	0,929776	18,66106	8,43029E-16	297
0,002677	-0,10639	-0,248689887	0,968583	18,72389	-0,046181453	298
0,000672	-0,09588	-0,125333234	0,992115	18,78672	-8,45858E-16	299
0	-0,0852	-1,5779E-13	1	18,84956	0,046027514	300
0,000672	-0,07452	0,125333234	0,992115	18,91239	8,48678E-16	301
0,002677	-0,06401	0,248689887	0,968583	18,97522	-0,045875105	302
0,005983	-0,05384	0,368124553	0,929776	19,03805	-8,51488E-16	303
0,010539	-0,04416	0,481753674	0,876307	19,10088	0,0457242	304
0,016272	-0,03512	0,587785252	0,809017	19,16372	8,54289E-16	305
0,023093	-0,02688	0,684547106	0,728969	19,22655	-0,045574775	306
0,030892	-0,01955	0,770513243	0,637424	19,28938	-8,57081E-16	307
0,039549	-0,01326	0,844327926	0,535827	19,35221	0,045426805	308
0,048925	-0,00811	0,904827052	0,425779	19,41504	8,59863E-16	309
0,058874	-0,00417	0,951056516	0,309017	19,47787	-0,045280267	310
0,069237	-0,00151	0,982287251	0,187381	19,54071	-8,62637E-16	311
0,079853	-0,00017	0,998026728	0,062791	19,60354	0,045135138	312
0,090553	-0,00017	0,998026728	-0,06279	19,66637	8,65402E-16	313
0,101168	-0,00151	0,982287251	-0,18738	19,7292	-0,044991395	314
0,111532	-0,00417	0,951056516	-0,30902	19,79203	-8,68158E-16	315
0,12148	-0,00811	0,904827052	-0,42578	19,85487	0,044849017	316
0,130856	-0,01326	0,844327926	-0,53583	19,9177	8,70905E-16	317
0,139513	-0,01955	0,770513243	-0,63742	19,98053	-0,044707983	318
0,147313	-0,02688	0,684547106	-0,72897	20,04336	-8,73644E-16	319
0,154133	-0,03512	0,587785252	-0,80902	20,10619	0,04456827	320
0,159866	-0,04416	0,481753674	-0,87631	20,16902	8,76374E-16	321
0,164422	-0,05384	0,368124553	-0,92978	20,23186	-0,04442986	322
0,167728	-0,06401	0,248689887	-0,96858	20,29469	-8,79096E-16	323
0,169733	-0,07452	0,125333234	-0,99211	20,35752	0,04429273	324
0,170405	-0,0852	1,75676E-13	-1	20,42035	8,81809E-16	325
0,169733	-0,09588	-0,125333234	-0,99211	20,48318	-0,044156863	326
0,167728	-0,10639	-0,248689887	-0,96858	20,54602	-8,84514E-16	327
0,164422	-0,11657	-0,368124553	-0,92978	20,60885	0,044022239	328
0,159866	-0,12625	-0,481753674	-0,87631	20,67168	8,87211E-16	329
0,154133	-0,13528	-0,587785252	-0,80902	20,73451	-0,043888838	330
0,147313	-0,14353	-0,684547106	-0,72897	20,79734	-8,89899E-16	331
0,139513	-0,15085	-0,770513243	-0,63742	20,86018	0,043756643	332
0,130856	-0,15714	-0,844327926	-0,53583	20,92301	8,9258E-16	333
0,12148	-0,1623	-0,904827052	-0,42578	20,98584	-0,043625635	334
0,111532	-0,16624	-0,951056516	-0,30902	21,04867	-8,95252E-16	335
0,101168	-0,1689	-0,982287251	-0,18738	21,1115	0,043495796	336
0,090553	-0,17024	-0,998026728	-0,06279	21,17433	8,97916E-16	337
0,079853	-0,17024	-0,998026728	0,062791	21,23717	-0,043367111	338
0,069237	-0,1689	-0,982287251	0,187381	21,3	-9,00573E-16	339
0,058874	-0,16624	-0,951056516	0,309017	21,36283	0,04323956	340
0,048925	-0,1623	-0,904827052	0,425779	21,42566	9,03222E-16	341

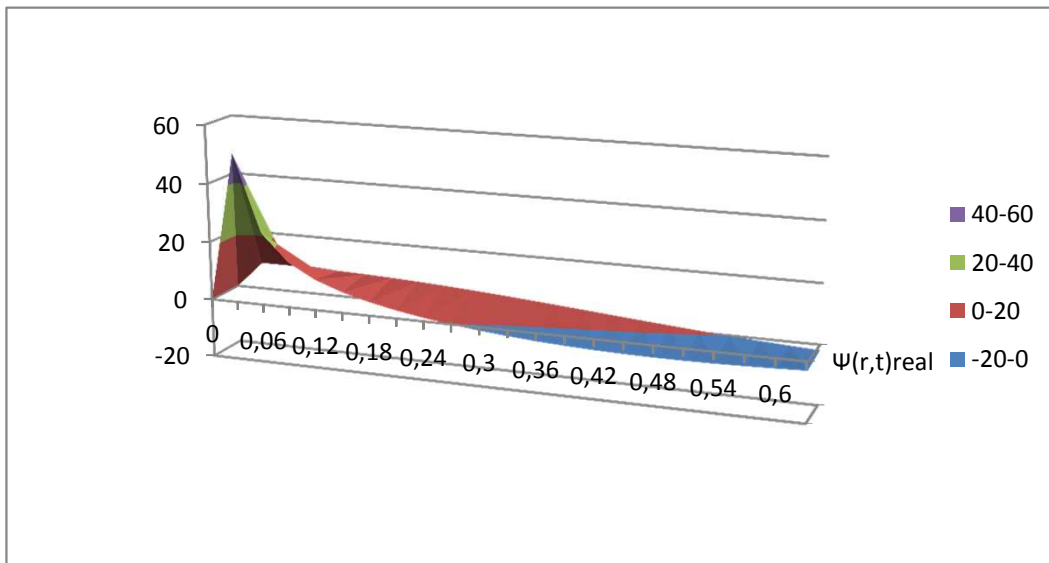
0,039549	-0,15714	-0,844327926	0,535827	21,48849	-0,043113129	342
0,030892	-0,15085	-0,770513243	0,637424	21,55133	-9,05863E-16	343
0,023093	-0,14353	-0,684547106	0,728969	21,61416	0,0429878	344
0,016272	-0,13528	-0,587785252	0,809017	21,67699	9,08496E-16	345
0,010539	-0,12625	-0,481753674	0,876307	21,73982	-0,042863558	346
0,005983	-0,11657	-0,368124553	0,929776	21,80265	-9,11122E-16	347
0,002677	-0,10639	-0,248689887	0,968583	21,86548	0,042740387	348
0,000672	-0,09588	-0,125333234	0,992115	21,92832	9,1374E-16	349
0	-0,0852	-1,93562E-13	1	21,99115	-0,042618271	350
0,000672	-0,07452	0,125333234	0,992115	22,05398	-9,16351E-16	351
0,002677	-0,06401	0,248689887	0,968583	22,11681	0,042497197	352
0,005983	-0,05384	0,368124553	0,929776	22,17964	9,18954E-16	353
0,010539	-0,04416	0,481753674	0,876307	22,24248	-0,042377148	354
0,016272	-0,03512	0,587785252	0,809017	22,30531	-9,2155E-16	355
0,023093	-0,02688	0,684547106	0,728969	22,36814	0,042258111	356
0,030892	-0,01955	0,770513243	0,637424	22,43097	9,24138E-16	357
0,039549	-0,01326	0,844327926	0,535827	22,4938	-0,042140072	358
0,048925	-0,00811	0,904827052	0,425779	22,55664	-9,2672E-16	359
0,058874	-0,00417	0,951056516	0,309017	22,61947	0,042023016	360
0,069237	-0,00151	0,982287251	0,187381	22,6823	9,29294E-16	361
0,079853	-0,00017	0,998026728	0,062791	22,74513	-0,04190693	362
0,090553	-0,00017	0,998026728	-0,06279	22,80796	-9,31861E-16	363
0,101168	-0,00151	0,982287251	-0,18738	22,87079	0,041791801	364
0,111532	-0,00417	0,951056516	-0,30902	22,93363	9,34421E-16	365
0,12148	-0,00811	0,904827052	-0,42578	22,99646	-0,041677616	366
0,130856	-0,01326	0,844327926	-0,53583	23,05929	-9,36974E-16	367
0,139513	-0,01955	0,770513243	-0,63742	23,12212	0,041564362	368
0,147313	-0,02688	0,684547106	-0,72897	23,18495	9,3952E-16	369
0,154133	-0,03512	0,587785252	-0,80902	23,24779	-0,041452026	370
0,159866	-0,04416	0,481753674	-0,87631	23,31062	-9,4206E-16	371
0,164422	-0,05384	0,368124553	-0,92978	23,37345	0,041340595	372
0,167728	-0,06401	0,248689887	-0,96858	23,43628	9,44592E-16	373
0,169733	-0,07452	0,125333234	-0,99211	23,49911	-0,041230059	374
0,170405	-0,0852	2,11448E-13	-1	23,56194	-9,47118E-16	375
0,169733	-0,09588	-0,125333234	-0,99211	23,62478	0,041120405	376
0,167728	-0,10639	-0,248689887	-0,96858	23,68761	9,49637E-16	377
0,164422	-0,11657	-0,368124553	-0,92978	23,75044	-0,041011621	378
0,159866	-0,12625	-0,481753674	-0,87631	23,81327	-9,52149E-16	379
0,154133	-0,13528	-0,587785252	-0,80902	23,8761	0,040903695	380
0,147313	-0,14353	-0,684547106	-0,72897	23,93894	9,54655E-16	381
0,139513	-0,15085	-0,770513243	-0,63742	24,00177	-0,040796617	382
0,130856	-0,15714	-0,844327926	-0,53583	24,0646	-9,57154E-16	383
0,12148	-0,1623	-0,904827052	-0,42578	24,12743	0,040690376	384
0,111532	-0,16624	-0,951056516	-0,30902	24,19026	9,59646E-16	385
0,101168	-0,1689	-0,982287251	-0,18738	24,2531	-0,040584961	386
0,090553	-0,17024	-0,998026728	-0,06279	24,31593	-9,62132E-16	387
0,079853	-0,17024	-0,998026728	0,062791	24,37876	0,04048036	388
0,069237	-0,1689	-0,982287251	0,187381	24,44159	9,64612E-16	389
0,058874	-0,16624	-0,951056516	0,309017	24,50442	-0,040376565	390
0,048925	-0,1623	-0,904827052	0,425779	24,56725	-9,67085E-16	391
0,039549	-0,15714	-0,844327926	0,535827	24,63009	0,040273563	392
0,030892	-0,15085	-0,770513243	0,637424	24,69292	9,69552E-16	393
0,023093	-0,14353	-0,684547106	0,728969	24,75575	-0,040171346	394
0,016272	-0,13528	-0,587785252	0,809017	24,81858	-9,72013E-16	395
0,010539	-0,12625	-0,481753674	0,876307	24,88141	0,040069903	396
0,005983	-0,11657	-0,368124553	0,929776	24,94425	9,74468E-16	397
0,002677	-0,10639	-0,248689887	0,968583	25,00708	-0,039969225	398
0,000672	-0,09588	-0,125333234	0,992115	25,06991	-9,76916E-16	399

Эффективная масса солитона(экситона)

k(mode)	$\omega_0, \text{Гц}$	$\Delta r, \text{метр}$	$\lambda, \text{м}$	t, нс	масса иона		$\chi, \text{кг}$	m
					M, кг	S		
5,868366	2,80E+08	0,03	1,070687	142	3,82E-23		5,46E-30	4

Transduction wave function (mode)

Волновая поверхность



N-номер моды

$l=0, \dots, +\infty$

$$P_n(\cos \theta) = \frac{1}{2^n n!} \frac{d^n}{d(\cos \theta)^n} (\cos^2 \theta - 1)^n$$

$\delta$ - фаза рассеяния

$\theta$  - телесный угол рассеяния (зависит от интенсивности потока)

Для сферы рассеяния прототипа

$$\theta = \arcsin(4\pi \cdot Vs)$$

$$E_{\text{полн}} = L I_0^2 / 2 + C U_0^2 / 2$$















э)

Измерение эффекта:

Буст с поворотом квазиупругой силы, и следовательно изменение производной по напряжению, соответственно экстремумы 2-я и 3-я производные напряжения по времени

Наблюдатель в пространстве Минковского

Преобразования:

ГМТ(ортонормированный базисы) пространства Минковского (ГМТ ортонормированный базис Ев точка в пространстве соответствует объекту (тензору)

Трансдукция по времени, буст Лоренца(постоянная скорость усиления с преобразованием координат в гиперпространстве(4D) в любом направлении

Постоянная скорость относительного движения системы с базисом (буст)















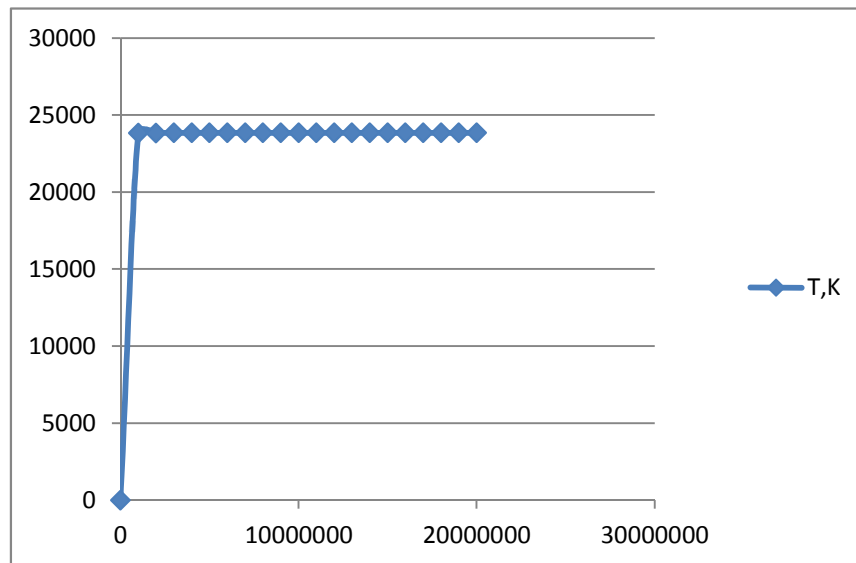
«клидова пространства)

$$\frac{1}{kT} = \frac{it}{\hbar}$$

ħ -Dirac 6,58E-16  
Boltzmann 1,38E-23

Расчет температур для поверхностей постоянной фа

T, K	t, sec	k <sub>v</sub> , Pa	x, m	ω <sub>0</sub> , Hz
#ДЕЛ/0!	#ДЕЛ/0!	2E+09	0,001	0
23824,43	2002		1,001	1000000
23836,34	2001		2,001	2000000
23840,31	2000,667		3,001	3000000
23842,3	2000,5		4,001	4000000
23843,49	2000,4		5,001	5000000
23844,28	2000,333		6,001	6000000
23844,85	2000,286		7,001	7000000
23845,28	2000,25		8,001	8000000
23845,61	2000,222		9,001	9000000
23845,87	2000,2		10,001	10000000
23846,09	2000,182		11,001	11000000
23846,27	2000,167		12,001	12000000
23846,42	2000,154		13,001	13000000
23846,55	2000,143		14,001	14000000
23846,67	2000,133		15,001	15000000
23846,77	2000,125		16,001	16000000
23846,85	2000,118		17,001	17000000
23846,93	2000,111		18,001	18000000
23847	2000,105		19,001	19000000
23847,06	2000,1		20,001	20000000



іЗЫ

$\Delta\omega$

$\Delta x$

1000000

1

Расчет плоского угла рассеяния квазичастиц и спектральной плотности энергии поля

Vs	координаты центров структур атомов							
	$\Psi_E$	$\sin(\theta)$	$\theta$	x'1	y'1	x'2	y'2	
	0,785398	1	1,570796	0	0	0	0	
	0,785398	0,999999872	1,571301	-10	-1	10	1	
	0,785397	0,99999796	1,572816	-20	-2	20	2	
	0,78539	0,999989671	1,575341	-30	-3	30	3	
	0,785373	0,999967356	1,578876	-40	-4	40	4	
	0,785336	0,999920302	1,583422	-50	-5	50	5	
	0,785268	0,99983473	1,588977	-60	-6	60	6	
	0,785158	0,999693796	1,595544	-70	-7	70	7	
	0,784988	0,999477572	1,603122	-80	-8	80	8	
	0,784741	0,99916304	1,611713	-90	-9	90	9	
	0,784396	0,998724061	1,621318	-100	-10	100	10	
	0,783931	0,998131344	1,631939	-110	-11	110	11	
	0,783319	0,997352396	1,643581	-120	-12	120	12	
	0,782533	0,99635146	1,656245	-130	-13	130	13	
	0,781541	0,995089423	1,669939	-140	-14	140	14	
	0,780312	0,993523709	1,684667	-150	-15	150	15	
	0,778807	0,991608129	1,700439	-160	-16	160	16	
	0,776989	0,989292705	1,717264	-170	-17	170	17	
	0,774814	0,986523439	1,735155	-180	-18	180	18	
	0,772236	0,983242029	1,754127	-190	-19	190	19	
	0,769208	0,979385522	1,774196	-200	-20	200	20	

$$Vs = \Delta\xi \cdot \chi \cdot \xi^2 \cdot t^3 \cdot M \cdot S \cdot \omega_0^2 (2\cos^2(\omega_0 t) - 1) \cdot E_{\text{полн}}$$

$$E_{\text{полн}} = LI_0^2/2 + CU_0^2/2$$

Координаты начала и окончаний траекторий пробега частиц

$\Delta x$	$\Delta y$	x11	y11	X12	y12	x21	y21	x22
10	1	#ДЕЛ/0!	0	#ДЕЛ/0!	0	#ДЕЛ/0!	0	#ДЕЛ/0!
		-2866,48	11,27452	-2864,08	-12,7072	141613,4	12,707197	141615,81
		-1434,93	22,54904	-1430,13	-25,4144	70804,8	25,414394	70809,597
		-958,499	33,82356	-951,305	-38,1216	47201,08	38,121591	47208,277
		-720,848	45,09809	-711,255	-50,8288	35398,59	50,828788	35408,181
		-578,708	56,37261	-566,717	-63,536	28316,58	63,535985	28328,574
		-484,323	67,64713	-469,934	-76,2432	23594,82	76,243182	23609,212
		-417,228	78,92165	-400,441	-88,9504	20221,77	88,950379	20238,561
		-367,189	90,19617	-348,003	-101,658	17691,67	101,65758	17710,855
		-328,519	101,4707	-306,936	-114,365	15723,53	114,36477	15745,112
		-297,81	112,7452	-273,828	-127,072	14148,76	127,07197	14172,743
		-272,888	124,0197	-246,509	-139,779	12860,08	139,77917	12886,464
		-252,309	135,2943	-223,531	-152,486	11785,98	152,48636	11814,753
		-235,069	146,5688	-203,892	-165,194	10876,92	165,19356	10908,094
		-220,452	157,8433	-186,878	-177,901	10097,54	177,90076	10131,119
		-207,935	169,1178	-171,963	-190,608	9421,918	190,60795	9457,8907
		-197,124	180,3923	-158,753	-203,315	8830,586	203,31515	8868,957
		-187,717	191,6669	-146,948	-216,022	8308,673	216,02235	8349,4422
		-179,48	202,9414	-136,313	-228,73	7844,609	228,72955	7887,7766
		-172,23	214,2159	-126,664	-241,437	7429,261	241,43674	7474,826
		-165,817	225,4904	-117,853	-254,144	7055,32	254,14394	7103,2832

y22	R1,m	R2,m	L1,m	L2,m
0	200	1000	1000	2000
-11,2745				
-22,549				
-33,8236				
-45,0981				
-56,3726				
-67,6471				
-78,9216				
-90,1962				
-101,471				
-112,745				
-124,02				
-135,294				
-146,569				
-157,843				
-169,118				
-180,392				
-191,667				
-202,941				
-214,216				
-225,49				



linear coeff

50

channel open

S(ω) Im	S(ω) Re	Intellect	Im(L <sub>(act. length)</sub> )	Re(L <sub>(act. length)</sub> )	E1(E <sub>0</sub> )
-1E-09	0	$f_m \cdot dE_{\text{полн}}/dt$	187,4361905	-418,12951	1,53E-76
-1E-09	0		83,30497354	-185,83534	7,67E-77
-1E-09	0		46,85904762	-104,53238	5,12E-77
-1E-09	0		29,98979047	-66,900721	3,84E-77
-1E-09	0		20,82624338	-46,458834	3,07E-77
-1E-09	0		15,30091351	-34,133021	2,56E-77
-1E-09	0		11,7147619	-26,133094	2,19E-77
-1E-09	0		9,256108171	-20,648371	1,92E-77
-1E-09	0		7,497447618	-16,72518	1,71E-77
-1E-09	0		6,196237701	-13,822463	1,53E-77
-1E-09	0		5,206560846	-11,614708	1,40E-77
-1E-09	0		4,436359538	-9,8965563	1,28E-77
-1E-09	0		3,825228377	-8,5332552	1,18E-77
-1E-09	0		3,332198942	-7,4334134	1,10E-77
-1E-09	0		2,928690476	-6,5332735	1,02E-77
-1E-09	0		2,594272532	-5,7872596	9,59E-78

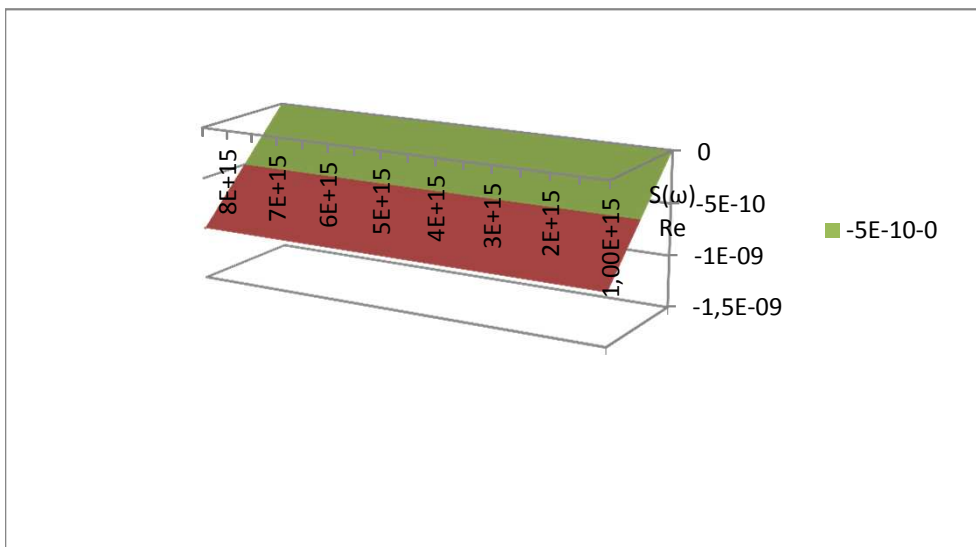
$$k(z) = \exp(i \cdot kz) [3th^2 z - 1 - k^2 - 3ik \cdot th(z)]$$

Lorenz boost speed

0,126347

$$z = mx^2 / 2^{1/2}$$

Спектральная поверхность (эффект)





E2	E <sub>amp</sub>	E <sub>transduction</sub>	$\omega$ inc,Hz	$\omega$ sc,Hz	N solitons	M <sub>(soliton mass)</sub>
3,68E+02			1,00E+15	-3,49E+36	1,00E+06	5,46E-24
3,74E+02			1,50E+15	-3,54E+36		
3,78E+02			2,00E+15	-3,58E+36		
3,81E+02			2,50E+15	-3,61E+36		
3,84E+02			3,00E+15	-3,64E+36		
3,86E+02			3,50E+15	-3,66E+36		
3,88E+02			4,00E+15	-3,68E+36		
3,89E+02			4,50E+15	-3,69E+36		
3,91E+02			5,00E+15	-3,71E+36		
3,92E+02			5,50E+15	-3,72E+36		
3,93E+02			6,00E+15	-3,73E+36		
3,95E+02			6,50E+15	-3,74E+36		
3,96E+02			7,00E+15	-3,75E+36		
3,97E+02			7,50E+15	-3,76E+36		
3,98E+02			8,00E+15	-3,77E+36		
3,98E+02			8,50E+15	-3,78E+36		

$$\zeta = -\omega_0^2 * (2^m - 1) * (2m - 3) * \sum_{i=0}^{m-1} p_i * \log(p_i)$$

Reasoning unit per time

Produced entropy

$f_m$ (time-efficiency)	Activity	S (entropy)	dQ, J	dE (dQ*T)	$\zeta$ (m)
3,48828E+22	5,25E-03	1,90E+02	0,650034563	190,460127	3,48828E+31
7,84863E+22	4,20E-03	2,38E+02	0,812543204	238,0751587	7,84863E+31
1,39531E+23	3,00E-03	3,33E+02	1,137560485	333,3052222	1,39531E+32
2,18018E+23	2,33E-03	4,29E+02	1,462577767	428,5352857	2,18018E+32
3,13945E+23	1,91E-03	5,24E+02	1,787595048	523,7653491	3,13945E+32
4,27314E+23	1,62E-03	6,19E+02	2,11261233	618,9954126	4,27314E+32
5,58125E+23	1,40E-03	7,14E+02	2,437629611	714,2254761	5,58125E+32
7,06377E+23	1,24E-03	8,09E+02	2,762646893	809,4555396	7,06377E+32
8,7207E+23	1,11E-03	9,05E+02	3,087664174	904,685603	8,7207E+32
1,0552E+24	1,00E-03	1,00E+03	3,412681456	999,9156665	1,0552E+33
1,25578E+24	9,13E-04	1,10E+03	3,737698737	1095,14573	1,25578E+33
1,4738E+24	8,40E-04	1,19E+03	4,062716019	1190,375793	1,4738E+33
1,70926E+24	7,78E-04	1,29E+03	4,3877333	1285,605857	1,70926E+33
1,96216E+24	7,24E-04	1,38E+03	4,712750582	1380,83592	1,96216E+33
2,2325E+24	6,77E-04	1,48E+03	5,037767863	1476,065984	2,2325E+33
2,52028E+24	6,36E-04	1,57E+03	5,362785145	1571,296047	2,52028E+33

$$S(\omega) = \int S(t) * e^{-j\omega t} dt = \int (-i * \sin^2 \omega t + \cos(\omega t) * \sin(\omega t)) = i * (-t/2 + \sin(2\omega t)/4\omega) | (-t_0; t_0) - \cos(2\omega t)/4\omega | (-$$

Пример: линейная зависимость амплитуды от частоты

Сигнал  $\sin(\omega t) + \sin(\omega t + \varphi_0)$

$T = h/Kt$

Рассчитать антигравитационный спектр, по частоте  
построить график спектра сферической волны

Результат - комплексный антигравитационный спектр в зависимости от частоты излучения

$$\frac{1}{KT} = \frac{it}{h}$$

$$+E = 0.027 \cdot \chi \cdot \ln(\zeta \cdot \lambda) \cdot R \cdot \psi_e \cdot I \cdot \eta \cdot Qz$$

энергия ионов - внутренний слой мембраны биологической клетки

$$E = \chi \cdot \ln(\xi \cdot \epsilon) / p \nu$$

t,sec	$\lambda_0, \text{м}$	$\vartheta, \text{м/сек}$	$\omega_0, \text{Hz}$	$d\zeta, \text{sec}^{-2}$	m	$\Delta\omega, \text{Hz}$	k
1E-09	1,00E-12	1,57E+03	1,00E+15	3,48828E+31	4	5,00E+14	1
	2,00E-12	4,71E+03	1,5E+15	4,36035E+31			
	3,00E-12	9,42E+03	2E+15	6,10449E+31			
	4,00E-12	1,57E+04	2,5E+15	7,84863E+31 [9]			
	5,00E-12	2,36E+04	3E+15	9,59277E+31			
	6,00E-12	3,30E+04	3,5E+15	1,13369E+32			
	7,00E-12	4,40E+04	4E+15	1,30811E+32			
	8,00E-12	5,65E+04	4,5E+15	1,48252E+32			
	9,00E-12	7,07E+04	5E+15	1,65693E+32			
	1,00E-11	8,64E+04	5,5E+15	1,83135E+32			
	1,10E-11	1,04E+05	6E+15	2,00576E+32			
	1,20E-11	1,23E+05	6,5E+15	2,18018E+32			
	1,30E-11	1,43E+05	7E+15	2,35459E+32			
	1,40E-11	1,65E+05	7,5E+15	2,529E+32			
	1,50E-11	1,88E+05	8E+15	2,70342E+32			
	1,60E-11	2,14E+05	8,5E+15	2,87783E+32			

спектр плоской (монохроматической) волны

$$t_0; t_0 = i \cdot (-t_0 + \sin(2\omega t_0) / 2\omega)$$

T=

3,6175E-12

$$\text{th}(x) = (e^x - e^{-x}) / (e^x + e^{-x}).$$

плоская бегущая волна, сферическая бегущая волна - взаимодействие Юкавы (волна рассеяния)

спектр эффекта-левитации

масса отталкивания

??????

$\Delta\Phi_{\text{soliton}}$	x	$\rho_{\text{imp}}$	$\chi$	+E dissipation	$\rho_{\text{plazma}}$ , Па	V, м <sup>3</sup>
2,112437	1	#ЧИСЛО!	5,46E-30	368,0280446	770072,5489	1,00E-36
	10			373,7777353		
	20			377,8572058		
	30			381,021489		
	40			383,6068965		
	50			385,7928275		
	60			387,686367		
	70			389,3565872		
	80			390,8506502		
	90			392,2021945		
	100			393,4360577		
				394,5711019		
				395,6219887		
				396,6003409		
				397,5155282		
				398,3752146		

Plank  $\hbar$

1,05E-34 дж\*с

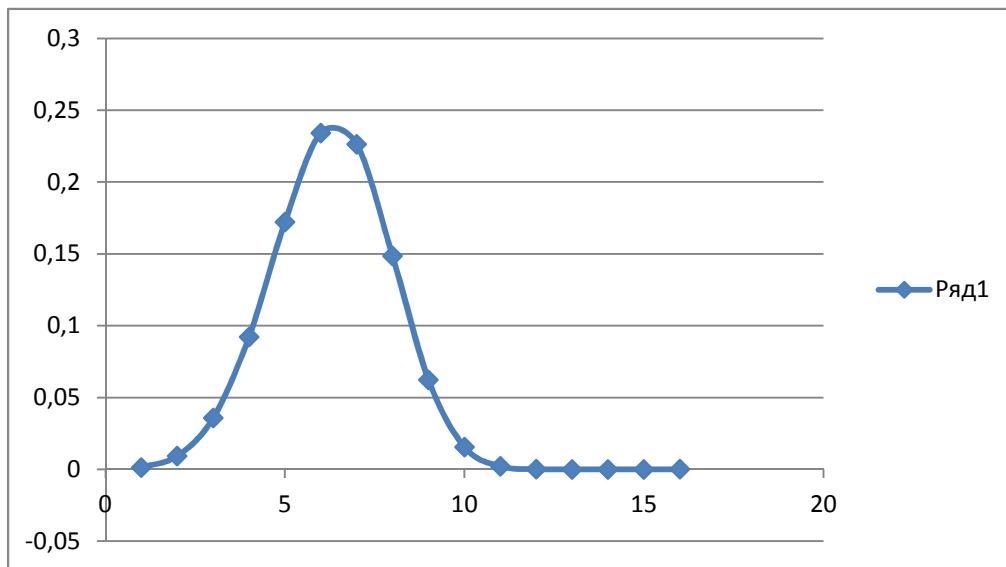
$\eta$  – Binding condition

2\*2.112437i -3 $\pi$

трансдуцирование-усиление

$\vartheta$ , м/сек	T, K	coeff	ERF(vbx)	a
10	293	3,95921E-14	0,046030087	0,140012289
			0,137479538	
			0,270908368	
			0,43621835	
			0,613463344	
			0,774700276	
			0,894242611	
			0,962608506	
			0,990795828	
			0,998554329	
			0,999868089	
			0,99999369	
			0,99999859	
			0,99999999	
			1	
			1	

Maxvell Distribution



ТЕВАТРОН-ускоритель частиц

$\sqrt{bx}$	b	Integral( $\vartheta$ )	Probability	Boltzmanr	S-entropy
4,08E-02	6,75174E-10	5,10992E-05	0,001317622	1,4E-23	-1,47409E-21
1,22E-01		0,001368721	0,009291247		
2,45E-01		0,010659968	0,035676852		
4,08E-01		0,04633682	0,092244081		
6,12E-01		0,1385809	0,172205224		
8,57E-01		0,310786124	0,23414327		
1,14E+00		0,544929395	0,22628603		
1,47E+00		0,771215425	0,148556758		
1,84E+00		0,919772183	0,062374334		
2,24E+00		0,982146517	0,015577447		
2,69E+00		0,997723964	0,002127301		
3,18E+00		0,999851265	0,000144319		
3,71E+00		0,999995583	4,3643E-06		
4,29E+00		0,999999948	5,21132E-08		
4,90E+00		1	2,14853E-10		
5,55E+00		1	5,10992E-05		

1

1,29E+09

3,47239E+12

z

0,707107

70,71068

282,8427

636,3961

1131,371

1767,767

2545,584

3464,823

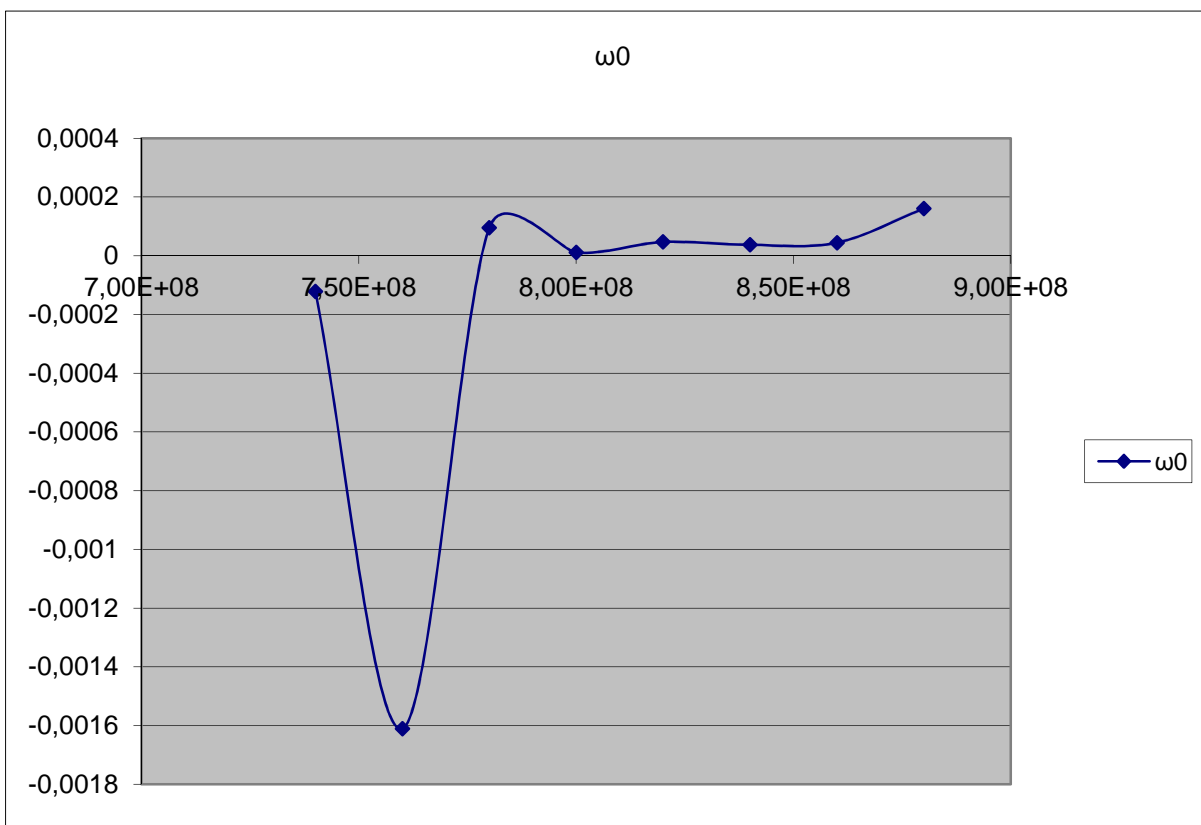
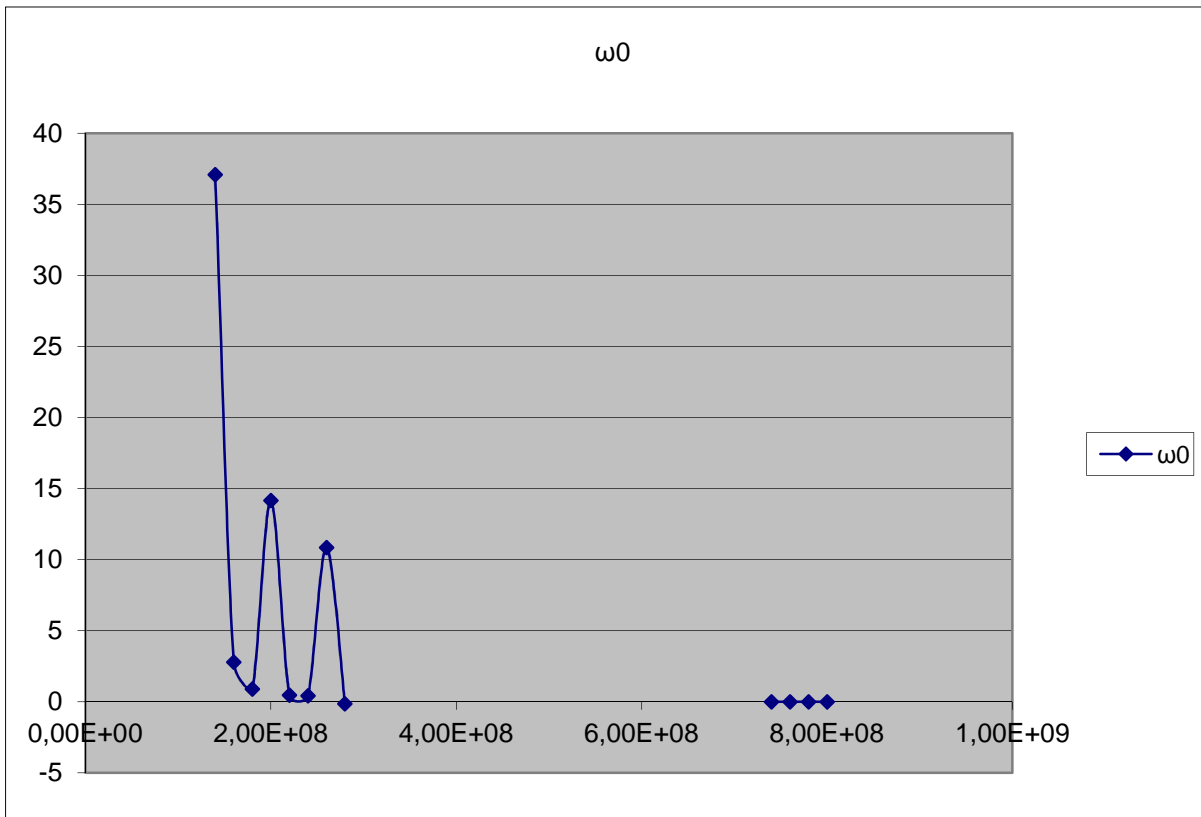
4525,483

5727,565

7071,068

Dissipation  
 $\omega_{sc} - 7/3 * \exp(2\omega_{sc}) = E/\hbar$

Graphics resolution





Параметры RLC-контура

$I_0, A$	$U_0, B$	$C, \Phi$
1,00E-09	1,00E-12	1,00E-12

$L(\omega_0), ГН$	$\omega_0$
37,08442035	1,40E+08
2,774219294	1,60E+08
0,894219383	1,80E+08
14,15438534	2,00E+08
0,471210895	2,20E+08
0,414866657	2,40E+08
10,84723062	2,60E+08
-0,145361117	2,80E+08

-0,000121879	7,40E+08
-0,001610686	7,60E+08
9,49152E-05	7,80E+08
1,07119E-05	8,00E+08
4,64785E-05	8,20E+08
3,68635E-05	8,40E+08
4,41522E-05	8,60E+08
0,000160259	8,80E+08

3,78723E-06	1E+09
2,77282E-11	4,00E+09
1,46166E-12	6E+09
1,17013E-14	1,00E+10
3,47732E-15	1,4E+10
1,35493E-15	1,6E+10
8,56125E-17	2,00E+10
7,6404E-17	2,40E+10
3,98183E-18	3,00E+10

Фемто

Эффект Болотова

Ядерный магнитный резонанс

Шаг 20 МГц